

УДК 546.548.232.6(546.664+546.73+546.74+546.28+546.22)

© Мельничук Х. О., Марчук О. В., Гулай Л. Д., 2016

Східноєвропейський національний університет імені Лесі Українки, (м. Луцьк)

E-mail: [Oleg\\_M\\_1974@i.ua](mailto:Oleg_M_1974@i.ua)**КРИСТАЛІЧНА СТРУКТУРА СПОЛУК  $Dy_3Co(Ni)_{0.5}Si_7$** 

Рентгенівським методом порошку вивчено кристалічну структуру нових тетрарних сполук  $Dy_3Co(Ni)_{0.5}Si_7$  (структурний тип  $La_3Mn_{0.5}Si_7$ , просторова група  $P6_3$ ).  $Dy_3Co_{0.5}Si_7$ :  $a = 0,97874(1)$  нм,  $c = 0,56567(1)$  нм,  $R_I = 0,0609$ ,  $R_P = 0,1643$ .  $Dy_3Ni_{0.5}Si_7$ :  $a = 0,97696(1)$  нм,  $c = 0,56950(1)$  нм,  $R_I = 0,0916$ ,  $R_P = 0,1695$ . У структурі тетрарних сполук  $Dy_3Co(Ni)_{0.5}Si_7$  атоми Dy розміщені у тригональних призмах з двома додатковими атомами  $[Dy_3S_14S_21S_3]$ , атоми Co та Ni – у центрах октаєдрів  $[Co_6S_2]$  і  $[Ni_6S_2]$  відповідно, а атоми Si – у тетраєдрах  $[Si_3S_11S_3]$ .

**Ключові слова:** кристалічна структура, рентгенівський метод порошку, халькогеніди РЗМ.

**Вступ**

Синтез халькогенідних сполук із наростаючим компонентним вмістом і встановлення їх кристалічної структури – один із шляхів пошуку нових матеріалів для задоволення потреб напівпровідникових технологій [1]. Серед досліджуваних халькогенідних систем практичний інтерес становлять системи, які у своєму складі містять рідкісноземельні метали (РЗМ). Отримувані сполуки володіють комплексом специфічних теплових, електричних, магнітних та інших властивостей. Представлені результати є одним із етапів систематичного вивчення квазіпотрійних систем  $Co(Ni)S - R_2S_3 - D^{IV}S_2$  ( $R - RЗМ$ ,  $D^{IV} - Si, Ge, Sn$ ) та кристалічної структури сполук, що в них утворюються [2], [3], [4] та ін.

**Експериментальна частина**

Зразки стехіометричного складу  $Dy_3Co_{0.5}Si_7$  та  $Dy_3Ni_{0.5}Si_7$  готували сплавленням компонентів напівпровідникової чистоти у вакуумованих кварцевих контейнерах за кімнатної температури. Синтез проводили у муфельній печі з програмним управлінням технологічними процесами МП-30. Максимальна температура синтезу становила 1420 К, гомогенізуючий відпал тривав 500 годин за температури 770 К.

Розрахунок кристалічної структури нових тетрарних сполук здійснювали за дифрактограмами, отриманими на дифрактометрі ДРОН 4-13 у межах  $2\Theta = 10 - 100^\circ$  ( $CuK\alpha$  – випромінювання, крок сканування –  $0.02^\circ$ , експозиція у кожній точці – 20 с).

Таблиця 1

Результати дослідження кристалічної структури сполук  $Dy_3Co(Ni)_{0.5}Si_7$ 

Сполука	$Dy_3Co_{0.5}Si_7$	$Dy_3Ni_{0.5}Si_7$
$a$ , (нм)	0,97874(1)	0,97696(1)
$c$ , (нм)	0,56567(1)	0,56950(1)
Об'єм комірки (нм <sup>3</sup> )	0,46928(2)	0,47074(3)
Кількість атомів у комірці	23,0	23,0
Густина (обрахована) (г/см <sup>3</sup> )	5,4451(3)	5,4274(3)
Адсорбційний коефіцієнт (1/см)	1302,03	1242,38
Випромінювання і довжина хвилі (нм)	Cu 0,154185	
Дифрактометр	ДРОН 4-13	
Спосіб обрахунку	Повнопрофільний	
Програма для розрахунку	WinCSD	
Кількість атомних позицій	6	6
Кількість вільних параметрів	19	20
$2\Theta$ та $\sin\Theta/\lambda$ (макс.)	99,11; 0,494	99,11; 0,494
$R_I$	0,0609	0,0916
$R_P$	0,1643	0,1695
Фактор шкали	0,6646(6)	0,5538(3)
Вісь текстури і параметр	[110] 0,49(1)	[111] 1,86(3)

Обробку даних і визначення кристалічної структури здійснювали за допомогою пакета програм WinCSD [5]. Отримані порошкограми проіндексовані в гексагональній сингонії (ПГ  $P6_3$ ). У таблиці 1 наведено умови рентгєнівського експерименту та кристалографічні параметри синтезованих сполук.

Комплекс проведених досліджень дозволив нам констатувати приналежність структури сполук  $Du_3Co(Ni)_{0,5}Si_7$  до структурного типу (СТ)  $La_3Mn_{0,5}Si_7$  [6]. Для уточнення структури диспрозійвмісних сполук положення атомів La сполуки  $La_3Mn_{0,5}Si_7$  заселяли атомами Ду а положення атомів Mn – атомами Со або Ні. Уточнення координат та ізотропних теплових параметрів атомів (таблиця 2 і таблиця 3) у такій моделі приводило до задовільних значень фактора розбіжності. Експериментальні, розраховані

та різницеві між ними дифрактограми сполук  $Du_3Co(Ni)_{0,5}Si_7$ , при цих параметрах атомів, наведені на рисунку 1.

У таблиці 4 наведено результати розрахунку міжатомних відстаней ( $\delta$ , нм) та координаційні числа (КЧ) атомів у структурі сполук  $Du_3Co_{0,5}Si_7$  і  $Du_3Ni_{0,5}Si_7$ . Розраховані міжатомні відстані добре корелюють із сумами відповідних іонних радіусів [7].

У структурі тетрарних сполук  $Du_3Co(Ni)_{0,5}Si_7$  (рисунок 2) атоми Ду координують навколо себе вісім атомів Сульфуру й утворюють тригональні призми з двома додатковими атомами  $[Du_3S_14S_21S_3]$ , атоми Со та Ні координують по шість атомів Сульфуру, утворюючи відповідні октаедри  $[Co_6S_2]$  і  $[Ni_6S_2]$ , а атоми Si розміщені у центрах тетраєдрів  $[Si_3S_11S_3]$ .

Таблиця 2

Параметри атомів для сполуки  $Du_3Co_{0,5}Si_7$

Атоми	ПСТ	$x/a$	$y/b$	$z/c$	$B_{i30} \times 10^2$ (нм <sup>2</sup> )
Du1	6c	0,6426(1)	0,8695(1)	0,0088(9)	0,34(2)
Co1	2a	0	0	0,29000*	0,97(3)
Si1	2b	1/3	2/3	0,434(2)	0,92(3)
S1	6c	0,4826(7)	0,5860(6)	0,2653(11)	0,75(3)
S2	6c	0,9053(5)	0,1538(5)	0,032(2)	0,81(3)
S3	2b	1/3	2/3	0,802(2)	0,82(3)

\* – зафіксовано; Co1 – 0,500 Со

Таблиця 3

Параметри атомів для сполуки  $Du_3Ni_{0,5}Si_7$

Атоми	ПСТ	$x/a$	$y/b$	$z/c$	$B_{i30} \times 10^2$ (нм <sup>2</sup> )
Du1	6c	0,6415(1)	0,8676(1)	0,0036(8)	0,25(2)
Ni1	2a	0	0	0,29000*	1,10(3)
Si1	2b	1/3	2/3	0,433(2)	0,99(3)
S1	6c	0,4777(8)	0,5800(7)	0,2843(11)	0,79(3)
S2	6c	0,9123(6)	0,1631(6)	0,0361(14)	0,98(3)
S3	2b	1/3	2/3	0,780(2)	1,10(3)

\* – зафіксовано; Ni1 – 0,500 Ні

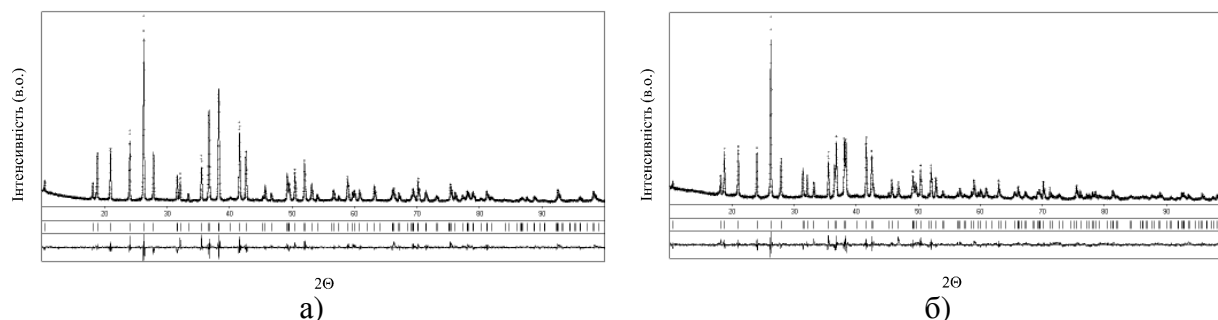
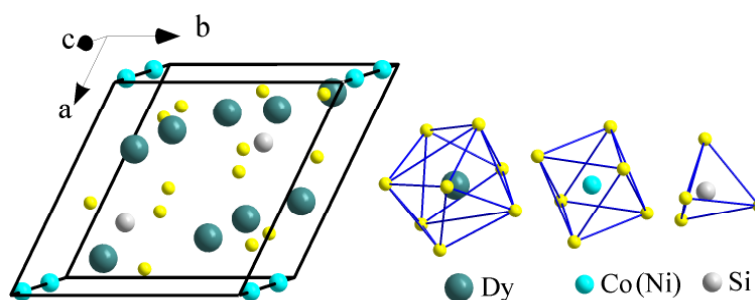


Рис. 1. Експериментальні, теоретичні дифрактограми тетрарних сполук та їх різницеві (а –  $Du_3Co_{0,5}Si_7$ , б –  $Du_3Ni_{0,5}Si_7$ ).

Міжатомні відстані ( $\delta$ , нм) і КЧ атомів Dy, Co, Ni та Si у сполуках  $Dy_3Co(Ni)_{0.5}Si_7$ 

АТОМИ	$\delta$ , нм	КЧ	АТОМИ	$\delta$ , нм	КЧ
Dy	- 1S1	0,2788(7)	Dy	- 1S1	0,2821(8)
	- 1S1	0,2813(6)		- 1S1	0,2918(6)
	- 1S1	0,2951(7)		- 1S1	0,2925(7)
	- 1S2	0,2686(5)		- 1S2	0,2688(6)
	- 1S2	0,2761(5)		- 1S2	0,2780(5)
	- 1S2	0,2856(10)		- 1S2	0,2816(9)
	- 1S2	0,3107(10)		- 1S2	0,3168(9)
	- 1S3	0,2908(4)		- 1S3	0,2937(5)
Co	- 3S2	0,2529	Ni	- 3S2	0,2569
	- 3S2	0,2578		- 3S2	0,2594
Si	- 3S1	0,2196(7)	Si	- 3S1	0,2149(9)
	- 1S3	0,2081(13)		- 1S3	0,1979(14)

Рис. 2. Елементарна комірка та координаційні многогранники атомів Dy, Co, Ni та Si у структурі сполук  $Dy_3Co(Ni)_{0.5}Si_7$ 

### Висновки

Рентгенівським методом порошку вивчено кристалічну структуру нових тетраарних сполук  $Dy_3Co_{0.5}Si_7$  та  $Dy_3Ni_{0.5}Si_7$ . Установлено, що вони кристалізуються в гексагональній сингонії (СТ  $La_3MnSi_7$ , ПГ  $P6_3$ ) з параметрами елементарних комірок:  $a = 0,97874(1)$  нм,  $c = 0,56567(1)$  нм (для сполуки  $Dy_3Co_{0.5}Si_7$ ) та  $a = 0,97696(1)$  нм,  $c = 0,56950(1)$  нм (для сполуки  $Dy_3Ni_{0.5}Si_7$ ).

### Список літератури

1. Eliseev A. A. Handbook on the physics and chemistry of rare earths. Phase equilibrium and crystal chemistry in rare earth ternary systems with chalcogenide elements / A. A. Eliseev, G. M. Kuzmichyeva // Elsevier Science Publishers B. V. – 1990. – V.13(89). – P.191-281.
2. Марчук О. В. Система  $CoS - Er_2S_3 - SiS_2$  за температури 770 К та кристалічна структура сполуки  $Er_3Co_{0.5}Si_7$  / В. Я. Шемет, О. В. Смітюх, Л. Д. Гулай // Міжвузівський збірник “Наукові нотатки” – Випуск № 41. Частина 2. – 2013. – Луцьк: РВВ ЛНТУ, 2013. – С.78-82.
3. Crystal structure of the  $R_3Ni_{0.5}GeS_7$  (R = rare earth element) compounds / [Pashynska Y., Daszkiewicz M., Marchuk O., Gulay L.] // XII International Conference on Crystal Chemistry of Intermetallic Compounds, Lviv, 22-26 September, 2013. – P.53.
4. Crystal structure of  $La_3Co_{0.5}SnS_7$  / [Daszkiewicz M., Melnychuk Kh., Marchuk V., Gulay L.] // Collected Abstracts of the 57<sup>st</sup> Polish Crystallographic Meeting, Wroclaw (Poland), 25-26 June, 2015. – B.64.
5. CSD-Universal program package for single crystal and powder structure data treatment / [L. G. Aksel'rud, Yu. N. Grin', P. Yu. Zavalii and others] // Collected Abstracts 12<sup>th</sup> European Crystallogr. Meet., Moscow, USSR, 20-28 August, – 1989. – V.3. – P.155.
6. Collin G. Structure cristalline de  $La_6MnSi_2S_{14}$  / G. Collin, P. Laruelle // Comptes Rendus Hebdomadaires des Seances de l'Academie des Sciences, Serie C, Sciences Chimiques. – 1970. – V.270. – P.410-412.
7. Shannon R. D. Revised effective ionic radii and systematic studied of interatomic distances in halides and chalcogenides / R. D. Shannon // Acta Cryst. – 1976. – V.39. – P.751-767.

### Summary

Melnychuk Kh. O., Marchuk O. V., Gulay L. D.

#### THE CRYSTAL STRUCTURE OF COMPOUND $Dy_3Co(Ni)_{0.5}SiS_7$

The crystal structures of quaternary  $Dy_3Co(Ni)_{0.5}SiS_7$  compounds (structure type  $La_3Mn_{0.5}SiS_7$ , space group  $P6_3$ ),  $a = 0,97874(1)$  nm,  $c = 0,56567(1)$  nm,  $R1 = 0,0609$  for  $Dy_3Co_{0.5}SiS_7$ ;  $a = 0,97696(1)$  nm,  $c = 0,56950(1)$  nm,  $R1 = 0,0916$  for  $Dy_3Ni_{0.5}SiS_7$  were determined by means of X-ray powder diffraction. The Dy atoms occupy trigonal prisms capped by two additional atoms. The Co(Ni) atoms are located in octahedra and the Si atoms are located in tetrahedra.

**Keywords:** crystal structure, X-ray powder method, rare-earth chalcogenides.